

DEFENSA ROBOTICA MOVIL



Autores: Lozano Romero, Daniel
Mérida Floriano, Javier
Montes Grova, Marco Antonio

INDICE DE LA PRESENTACION

1. Análisis Cinemático

1.1 Verificación modelo cinemático Directo

1.2 Verificación modelo cinemático Inverso

2. Control dinámico

2.1 Algoritmos de control

2.1 Ley de control persecución pura

INDICE DE LA PRESENTACION

1. Análisis Cinemático

1.1 Verificación modelo cinemático Directo

1.2 Verificación modelo cinemático Inverso

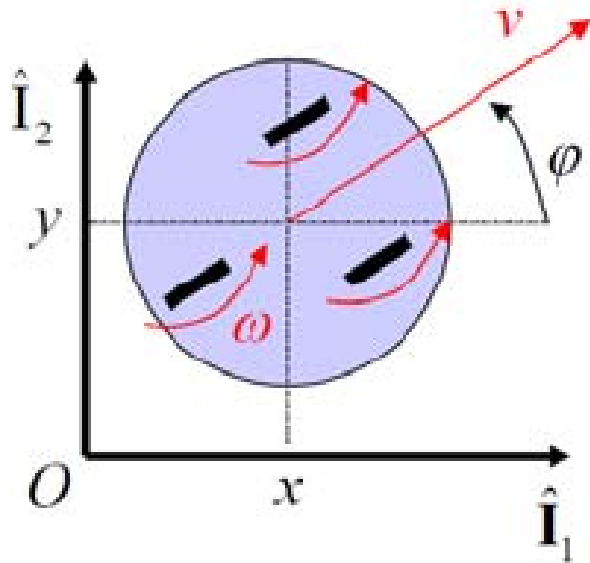
2. Control dinámico

2.1 Algoritmos de control

2.1 Ley de control persecución pura

ANÁLISIS CINEMÁTICO

- Modelo Cinemático Directo



Variables generalizadas $q = \begin{pmatrix} x \\ y \\ \varphi \end{pmatrix}$

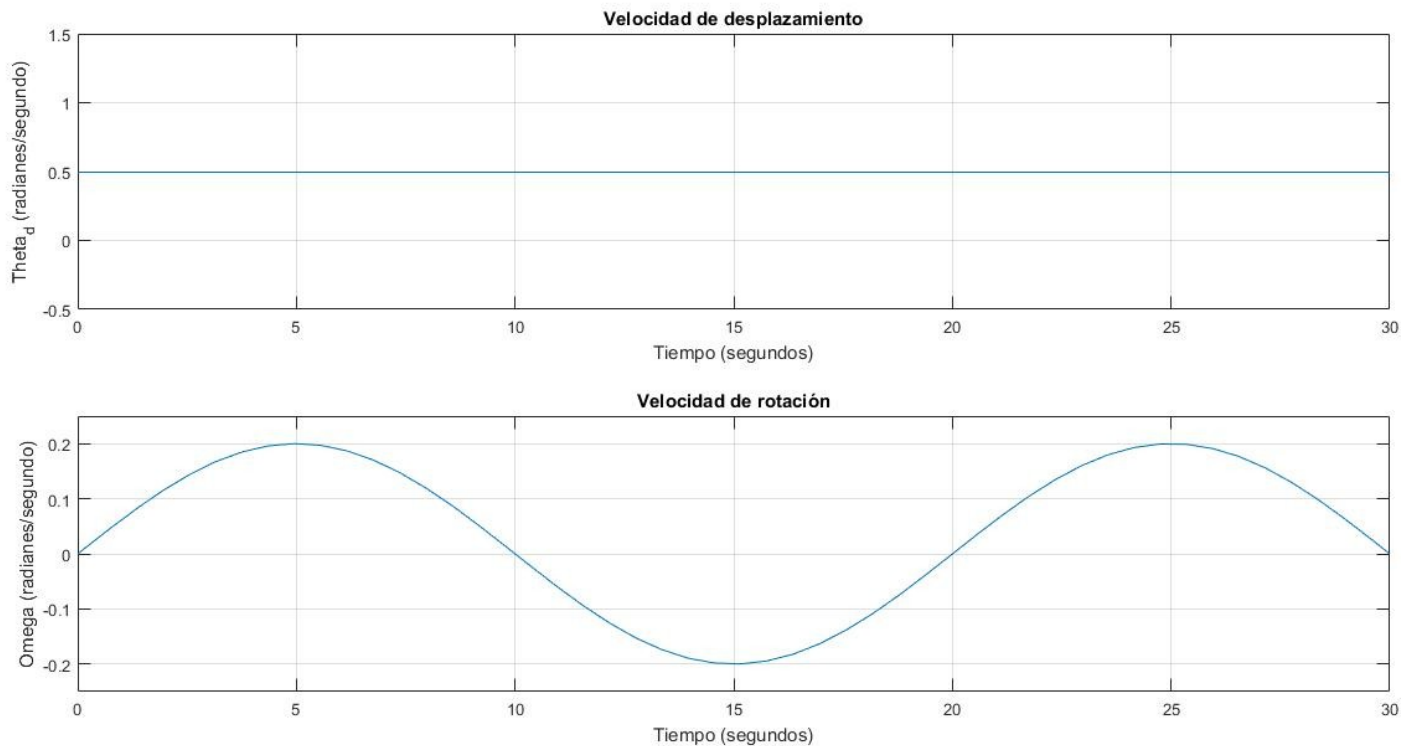
$$\begin{pmatrix} \dot{x} \\ \dot{y} \\ \dot{\varphi} \end{pmatrix} = \underbrace{\begin{pmatrix} R\cos(\varphi) & 0 \\ R\sin(\varphi) & 0 \\ 0 & 1 \end{pmatrix}}_J \begin{pmatrix} \dot{\theta} \\ \omega \end{pmatrix}$$

Variables de actuación $p = \begin{pmatrix} \dot{\theta} \\ \omega \end{pmatrix}$

ANÁLISIS CINEMÁTICO

- Verificación MCD

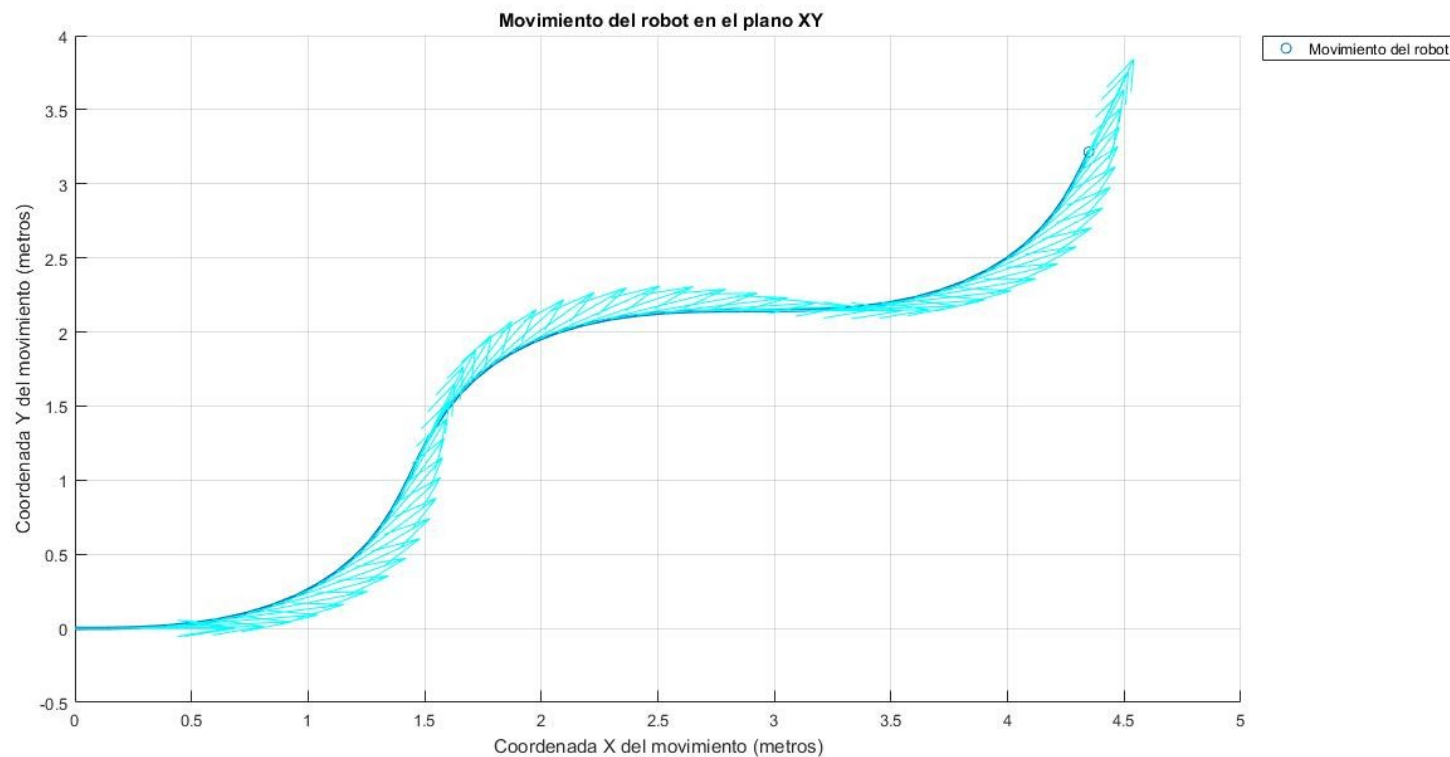
Actuación senoidal en la velocidad de rotación y cte en la de desplazamiento



ANÁLISIS CINEMÁTICO

- Verificación MCD

Actuación senoidal en la velocidad de rotación y cte en la de desplazamiento



ANÁLISIS CINEMÁTICO

- Modelo Cinemático Inverso

Destaca la necesidad de aplicar la pseudo-inversa del Jacobiano al no ser cuadrado para hallar el MCI.

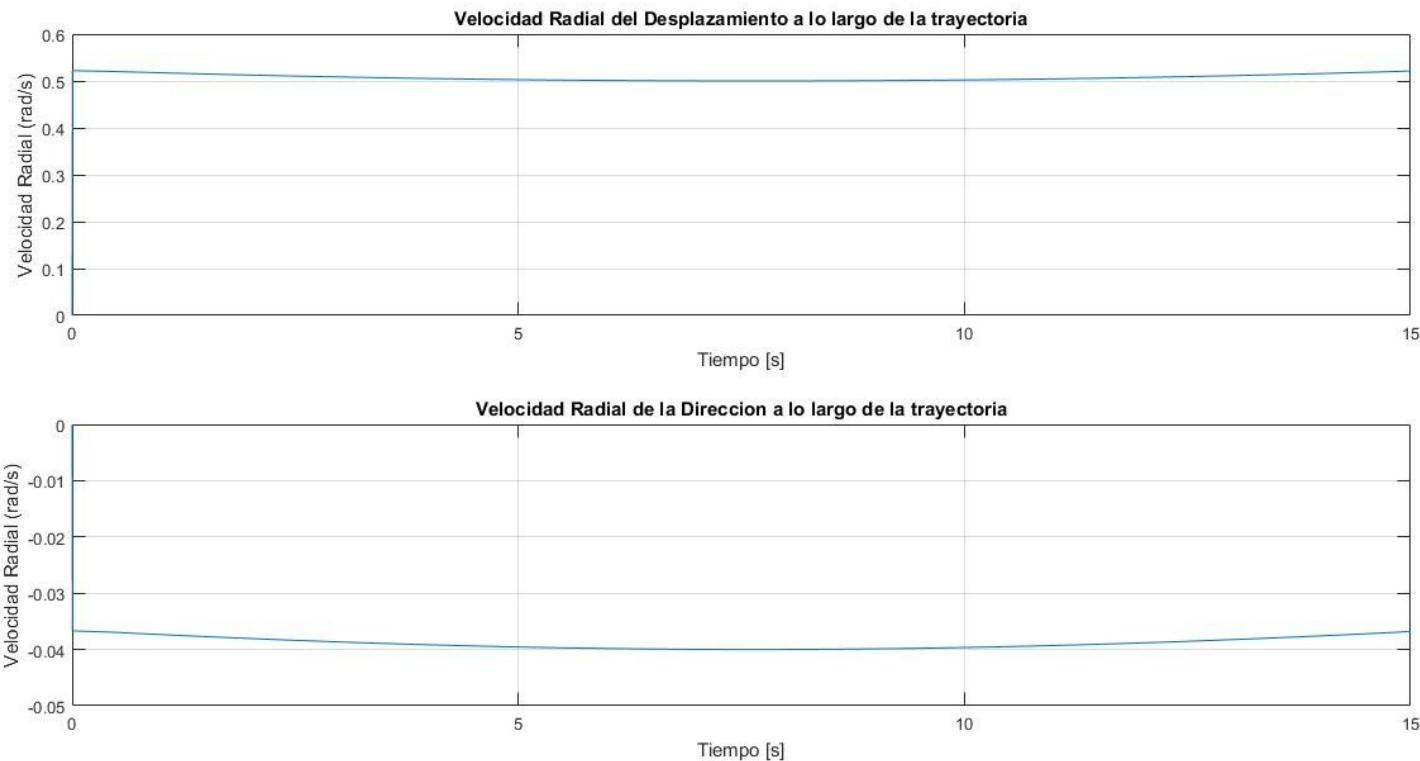
$$\begin{pmatrix} \dot{\theta} \\ \omega \end{pmatrix} = \underbrace{\begin{pmatrix} \frac{\cos(\varphi)}{R} & \frac{\sin(\varphi)}{R} & 0 \\ 0 & 0 & 1 \end{pmatrix}}_{J^{-1}} \begin{pmatrix} \dot{x} \\ \dot{y} \\ \dot{\varphi} \end{pmatrix}$$

ANÁLISIS CINEMÁTICO

- Verificación MCI

Implementación de la trayectoria parabólica

$$y = \frac{-1}{D}x(x - A)$$

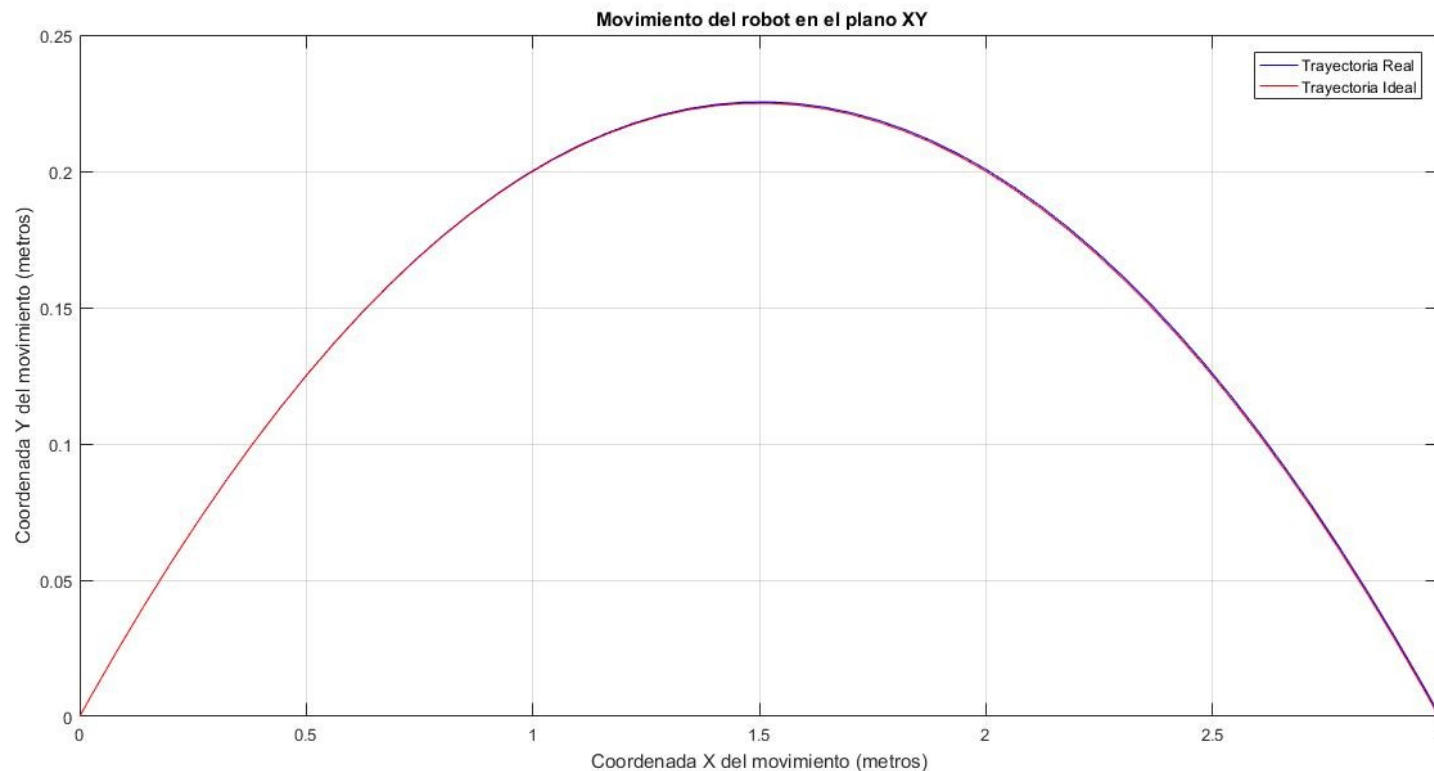


ANÁLISIS CINEMÁTICO

- Verificación MCI

Implementación de la trayectoria parabólica

$$y = \frac{-1}{D}x(x - A)$$



INDICE DE LA PRESENTACION

1. Análisis Cinemático

1.1 Verificación modelo cinemático Directo

1.2 Verificación modelo cinemático Inverso

2. Control dinámico

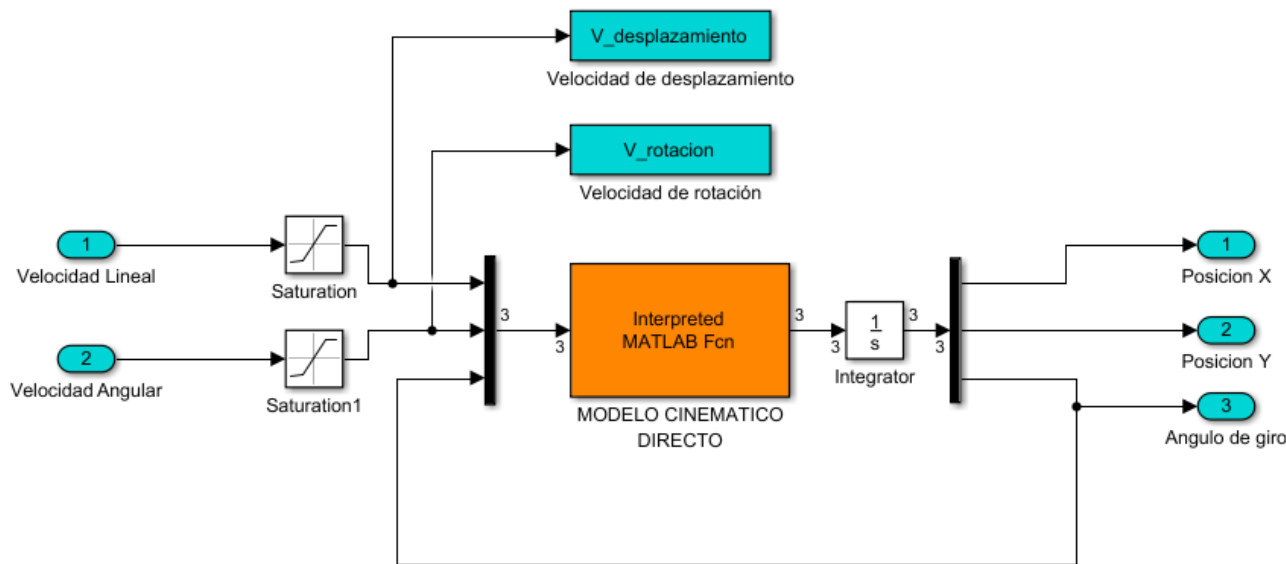
2.1 Algoritmos de control

2.2 Ley de control persecución pura

CONTROL DINÁMICO

- Modelo dinámico de simulación

Se han añadido saturaciones en velocidades de desplazamiento y rotación para modelar la dinámica de los motores

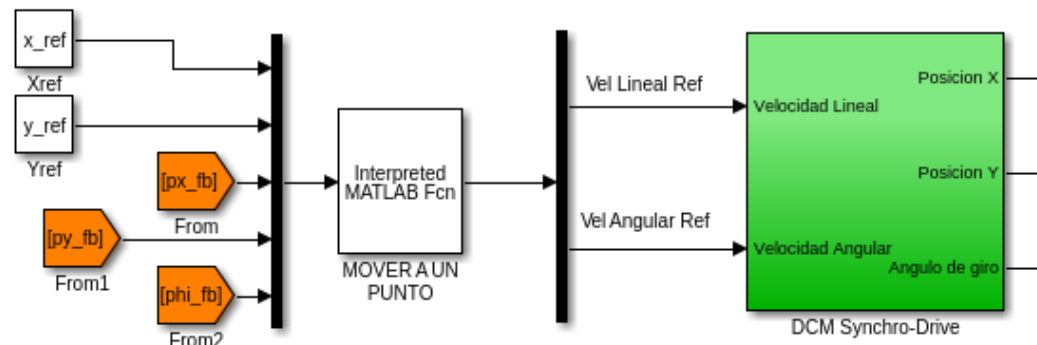


$$\omega_{saturacion} = \left[-15 \frac{deg}{s}, 15 \frac{deg}{s} \right]$$

$$\dot{\theta}_{saturacion} = \left[-30 \frac{cm}{s}, 30 \frac{cm}{s} \right]$$

CONTROL DINÁMICO

- Control a un punto



El punto objetivo será (x^*, y^*) y las velocidades lineal y angular se definen a continuación:

$$v^* = K_v \sqrt{((x^* - x)^2 + (y^* - y)^2)}$$

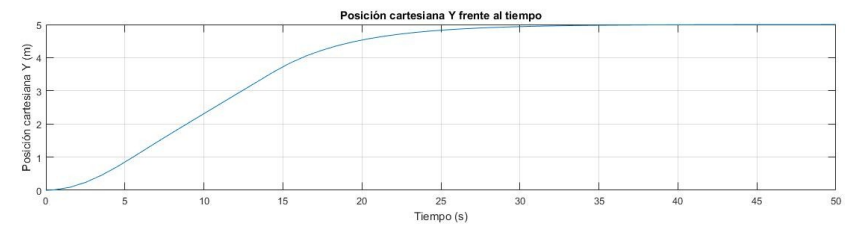
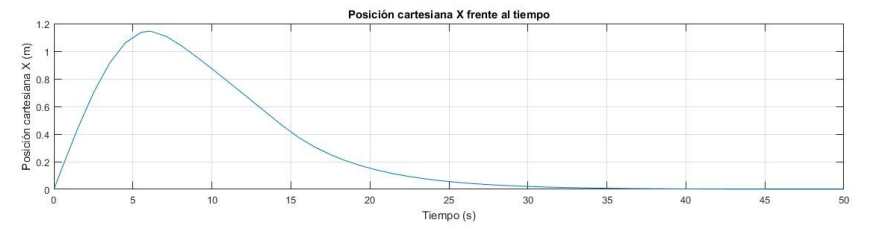
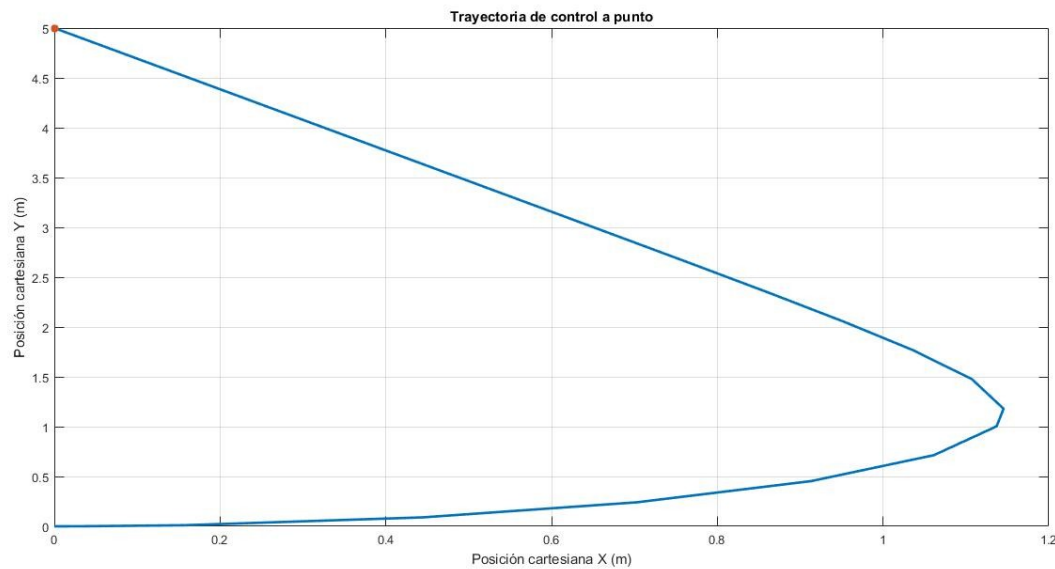
$$\omega = K_h(\varphi^* - \varphi)$$

$$K_h = 1$$

$$K_v = 0.5$$

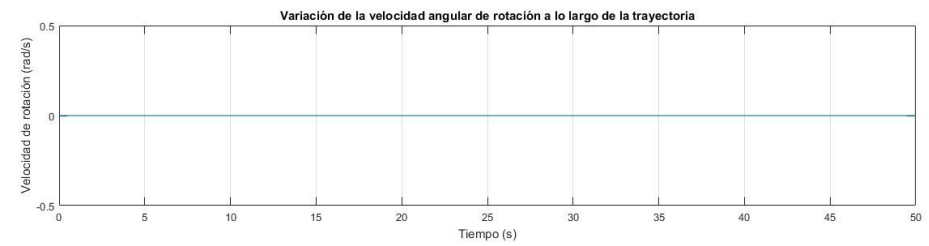
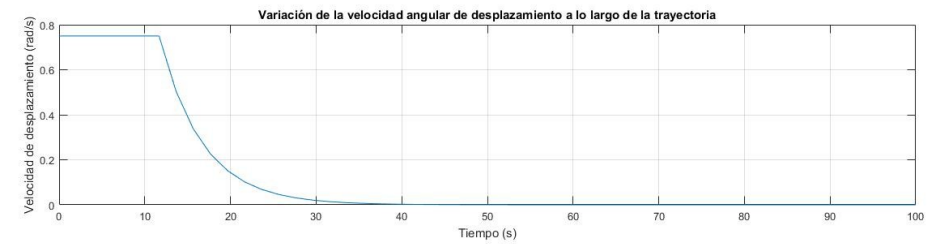
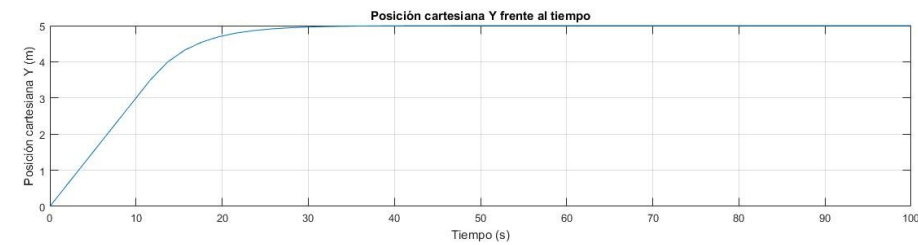
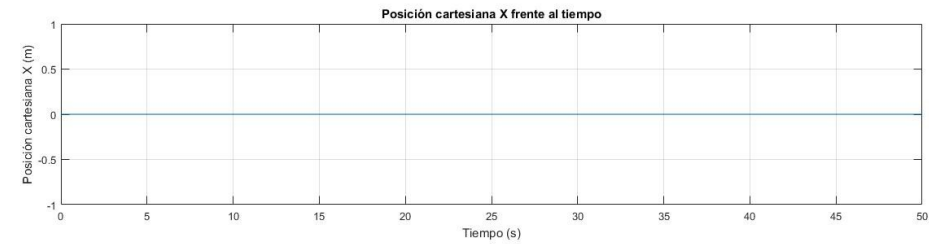
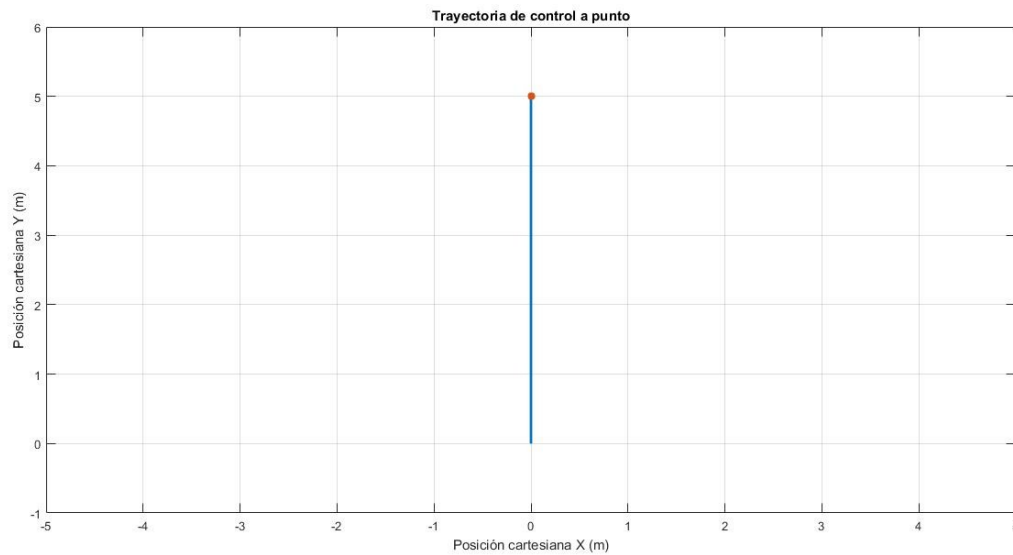
CONTROL DINÁMICO

Sin emplear preorientación



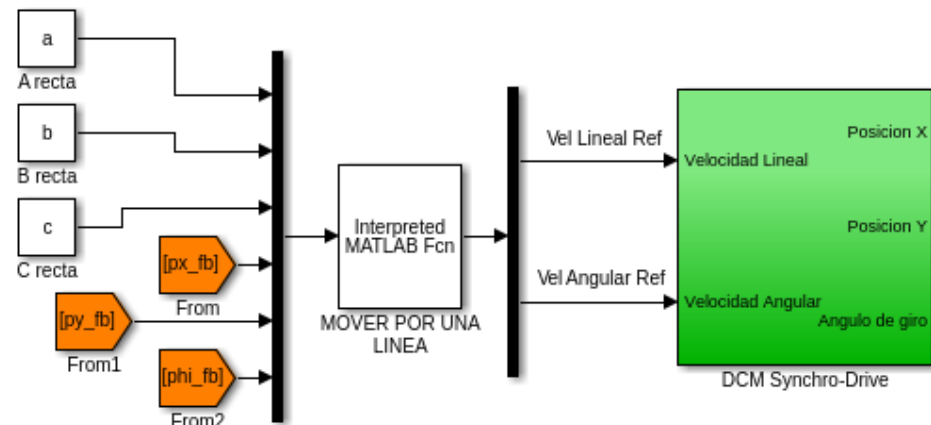
CONTROL DINÁMICO

Empleando preorientación



CONTROL DINÁMICO

- Control seguimiento de una línea



Se busca que siga una recta definida por $ax+by+c=0$

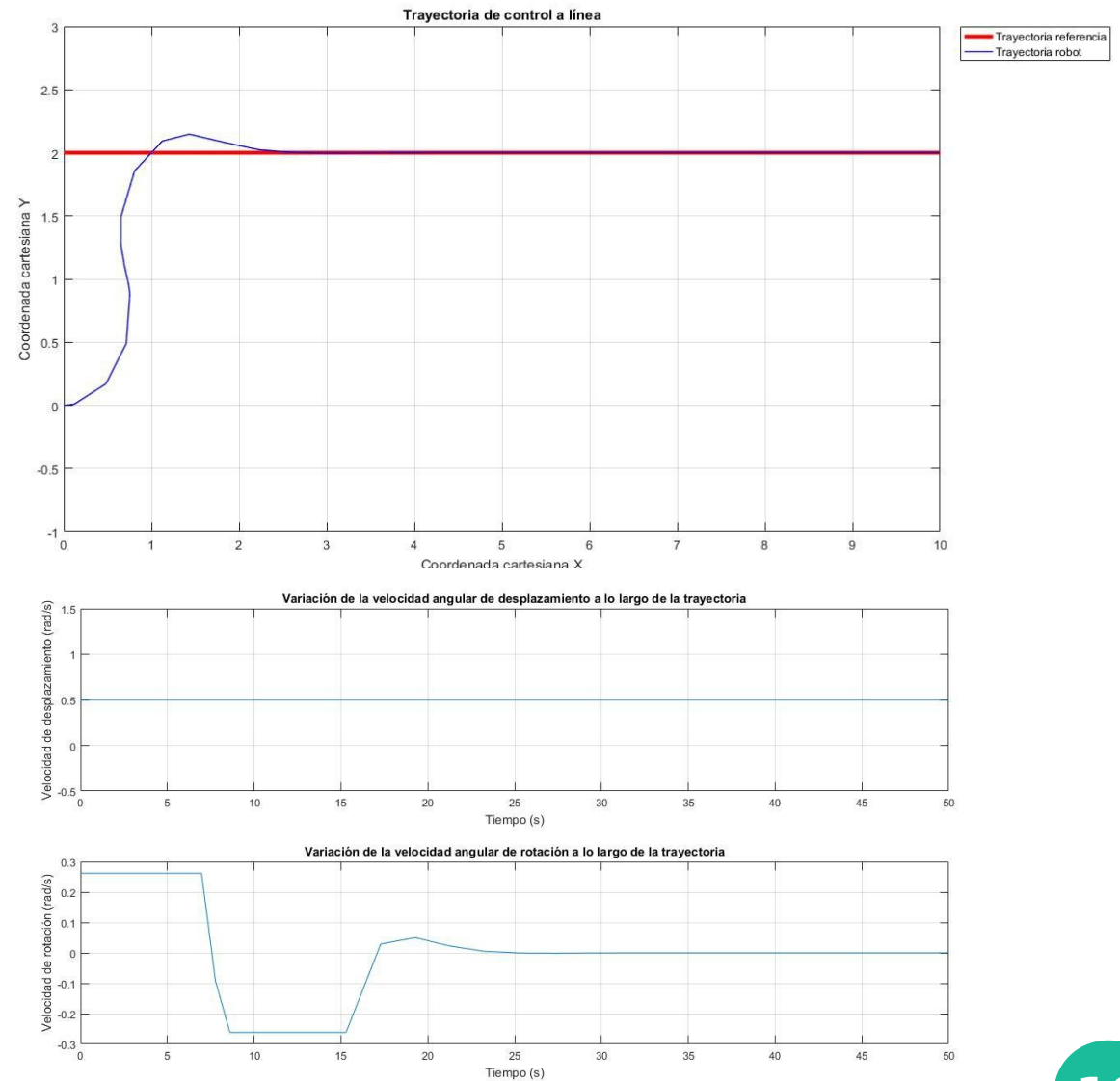
$$\omega = -K_d d + K_h(\varphi^* - \varphi) \quad v = cte \quad K_d = 2$$

$$d = \frac{(a, b, c) \cdot (x, y, 1)}{\sqrt{a^2 + b^2}} \quad K_h = 1$$

$$\varphi^* = \text{atan}\left(\frac{-a}{b}\right)$$

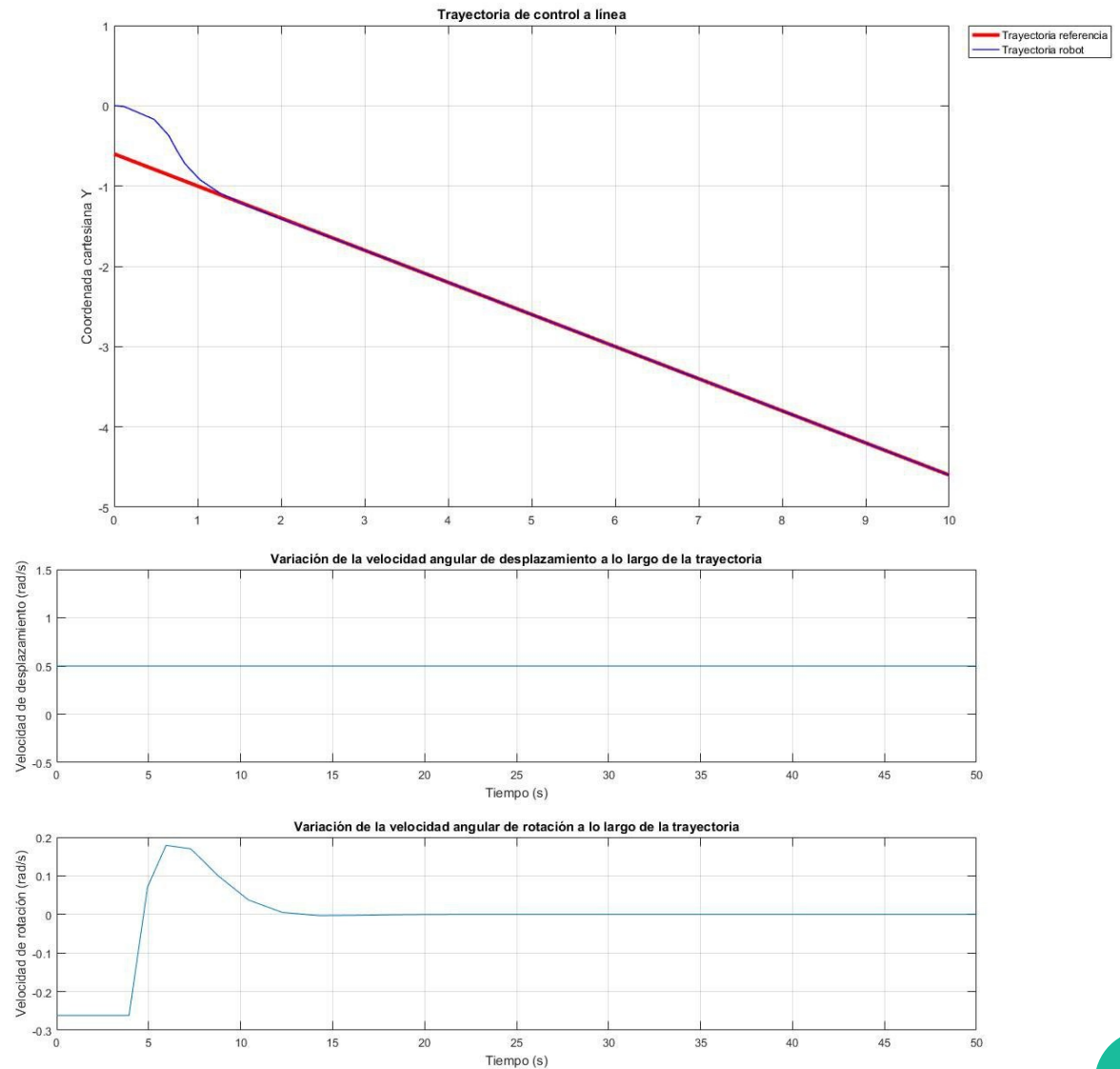
CONTROL DINÁMICO

- Seguimiento de una recta horizontal



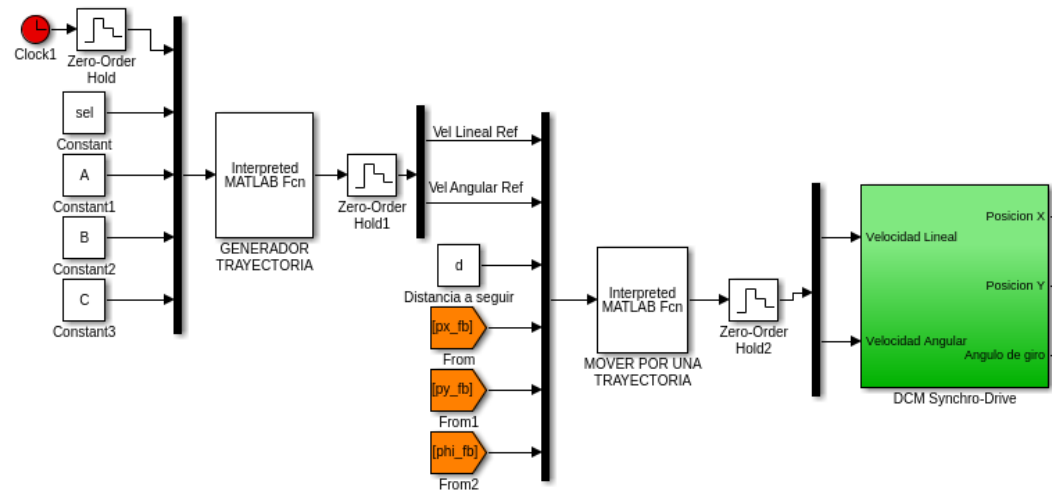
CONTROL DINÁMICO

- Seguimiento de una recta oblicua



CONTROL DINÁMICO

- Control seguimiento a trayectoria



Será un controlador similar al seguimiento de un punto, por ello se ha implementado un generador de trayectorias muestreado

$$v^* = K_v e + K_i \int e dt$$

$$K_i = 0.01$$

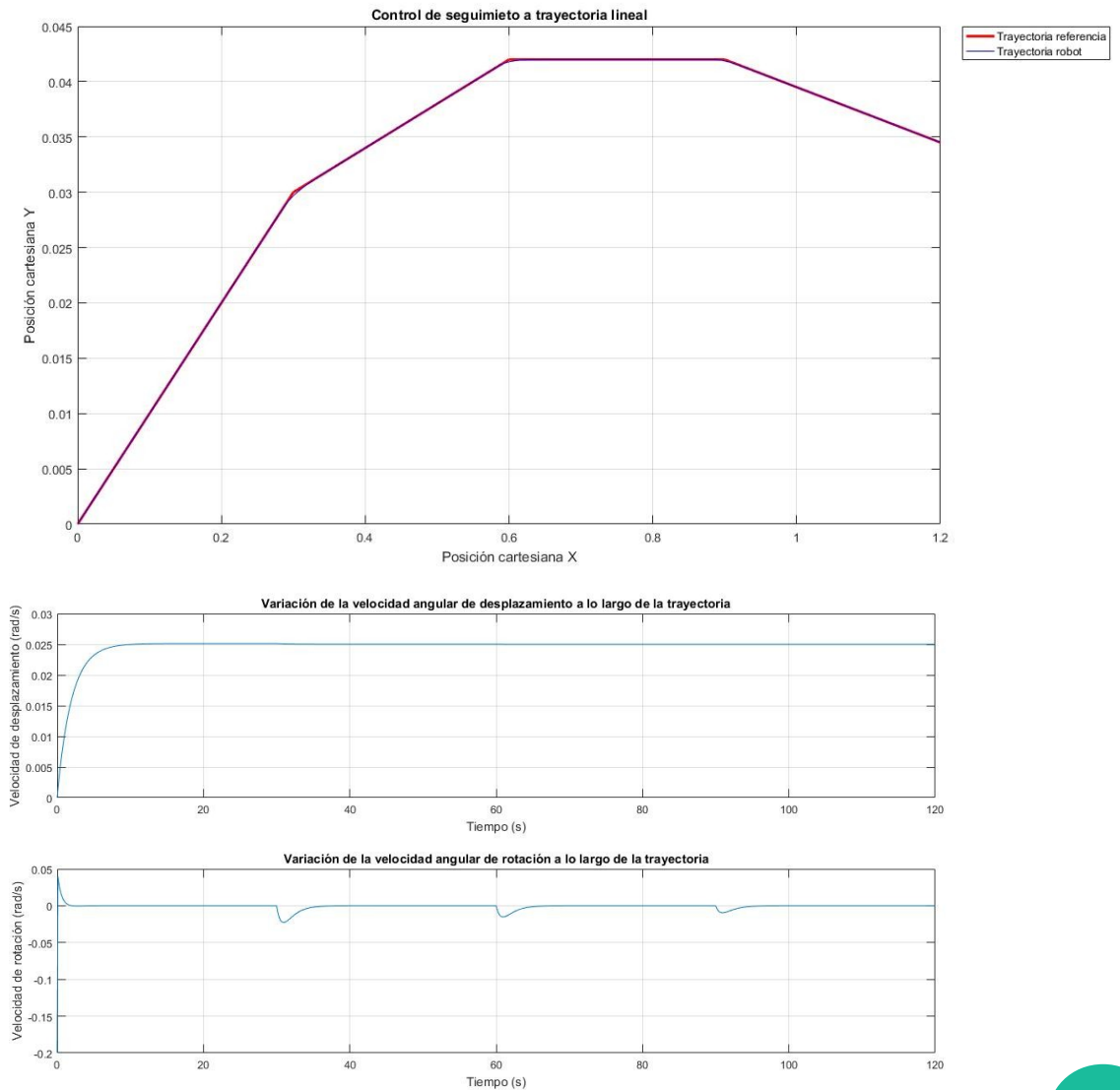
$$\omega = K_h (\varphi^* - \varphi)$$

$$K_v = 0.5$$

$$K_h = 2$$

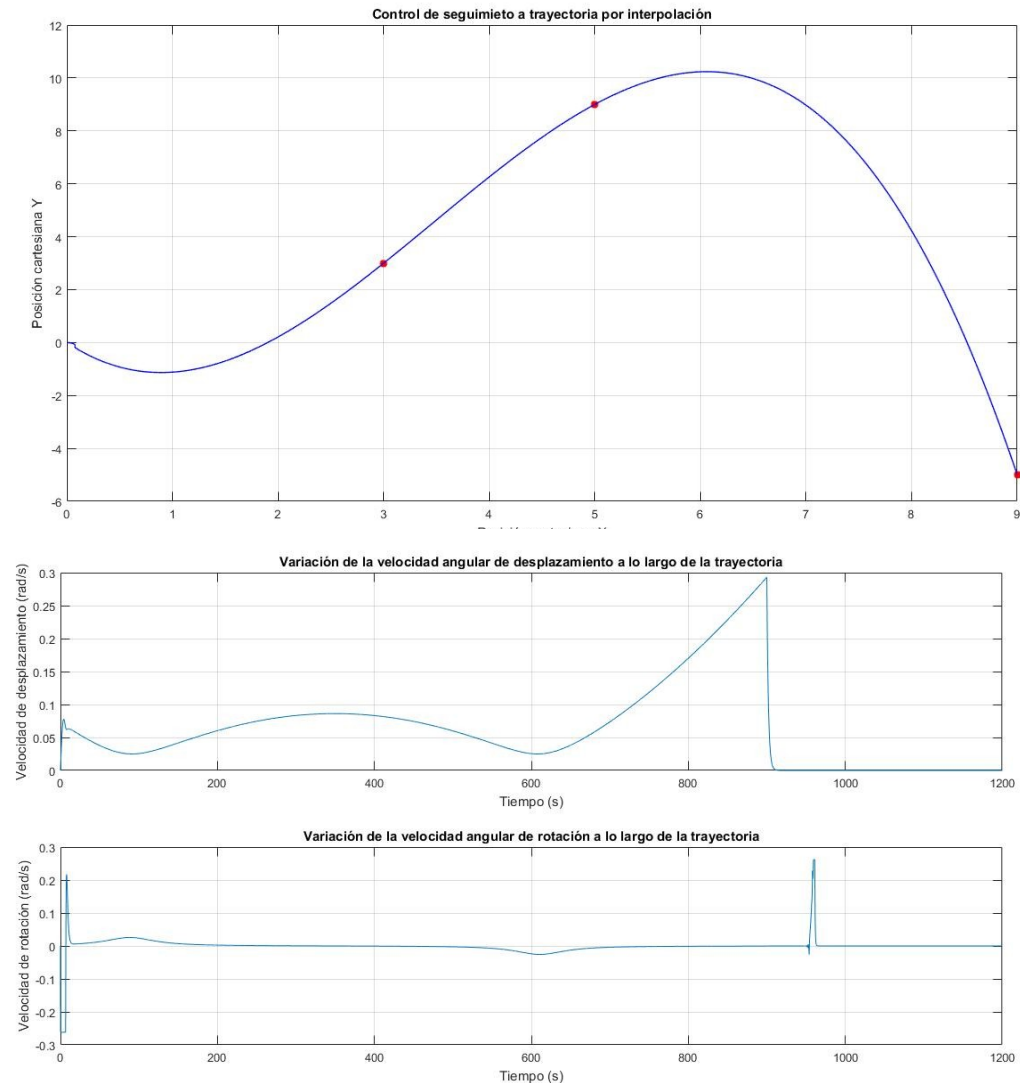
CONTROL DINÁMICO

- Seguimiento a trayectoria lineal a trozos



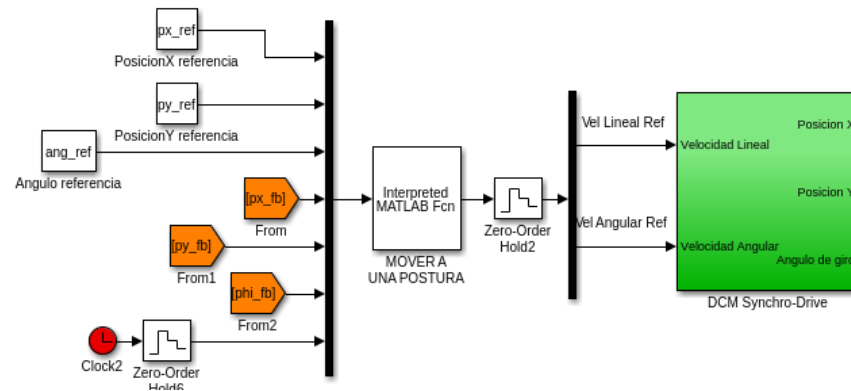
CONTROL DINÁMICO

- Seguimiento a trayectoria dada por tres puntos



CONTROL DINÁMICO

- Control a una postura



Se busca que el robot se desplace a un punto con una orientación definida. Por ello se calculan los siguientes ángulos para definir el control

$$\alpha = \operatorname{atan}\left(\frac{y^* - y}{x^* - x}\right) - \varphi$$

$$\beta = \varphi - \alpha$$

$$e = \sqrt{(y^* - y)^2 - (x^* - x)^2}$$

$$v^* = K_v e$$

$$\omega = K_\alpha \alpha + K_\beta \beta$$

$$K_v = 1$$

$$K_A = 2$$

$$K_B = -1$$

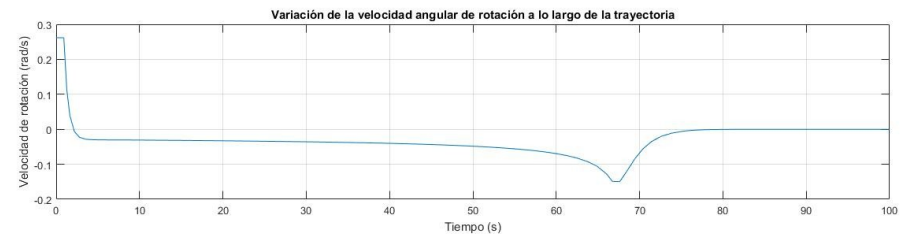
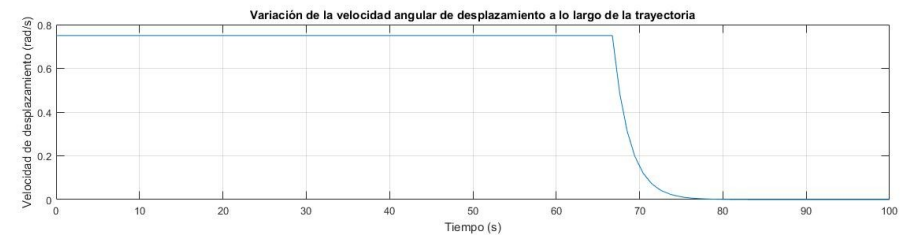
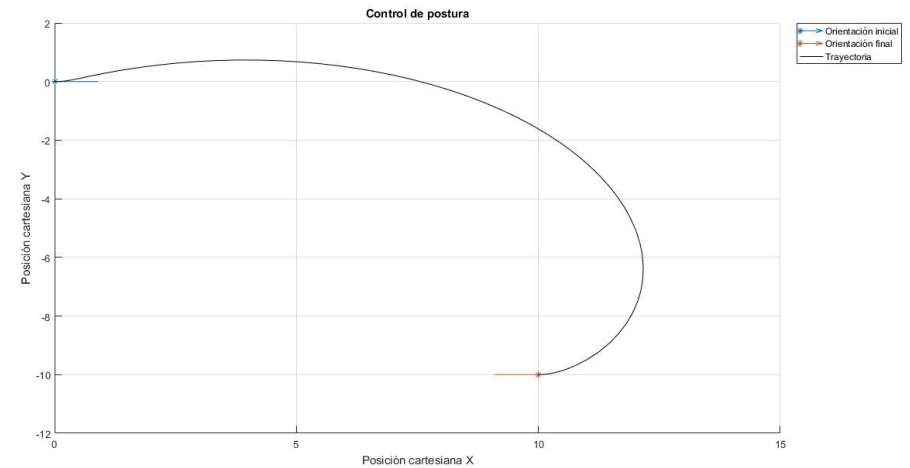
CONTROL DINÁMICO

- Postura inicial

$$x=0; y=0; \text{ángulo}=0^\circ$$

- Postura final

$$x=10; y=-10; \text{ángulo}=-180^\circ$$



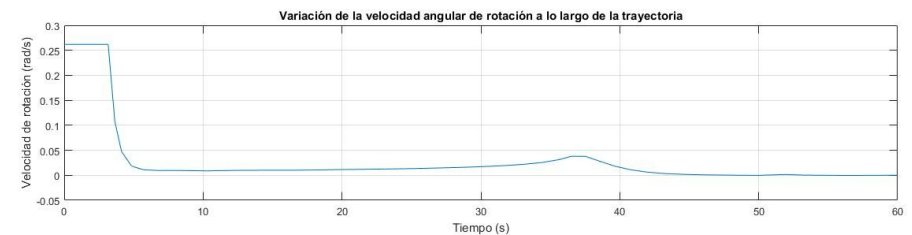
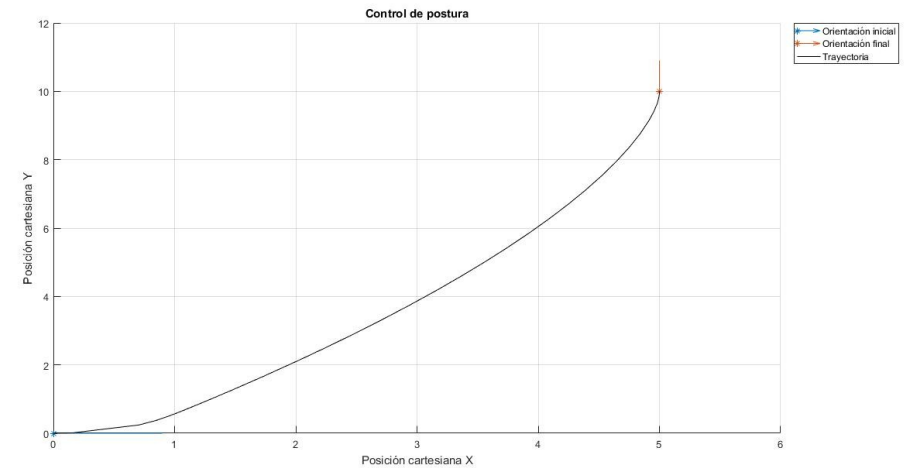
CONTROL DINÁMICO

- Postura inicial

$$x=0; y=0; \text{ángulo}=0^\circ$$

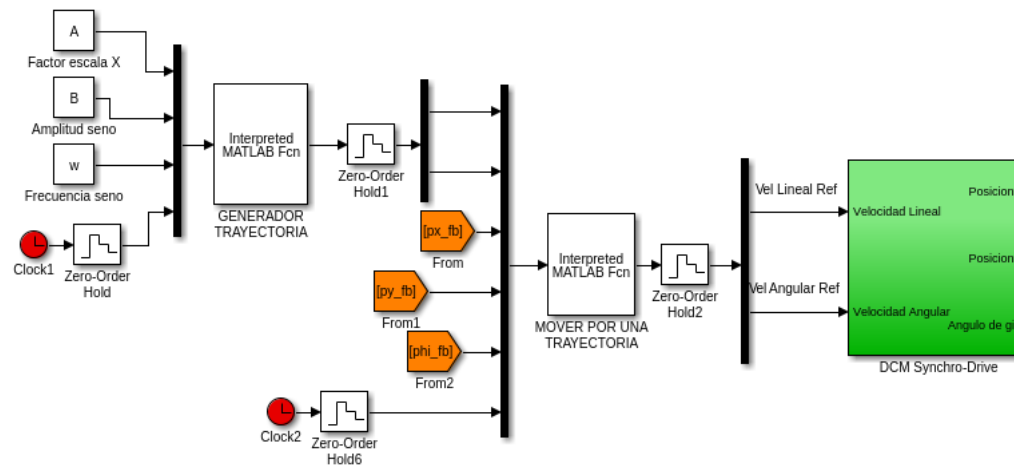
- Postura final

$$x=5; y=10; \text{ángulo}=90^\circ$$



CONTROL DINÁMICO

• Ley de control Persecución Pura



La trayectoria a seguir será la siguiente senoide: $y = B \sin(\omega t) = 1.2 \sin(0.2t)$

$$v^* = \frac{K_\rho \rho}{R}$$

$$\omega = K_\alpha \alpha + K_\beta \beta$$

$$\rho = \sqrt{(y^* - y)^2 + (x^* - x)^2}$$

$$\alpha = \text{atan}\left(\frac{y^* - y}{x^* - x}\right) - \varphi$$

$$\beta = \varphi - \alpha$$

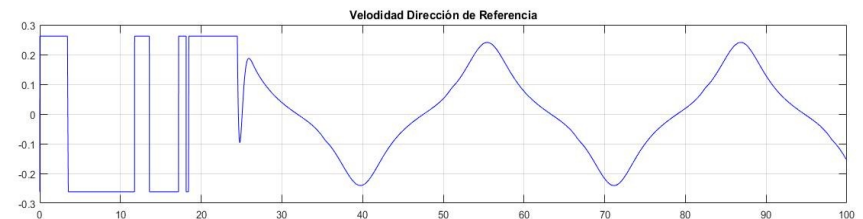
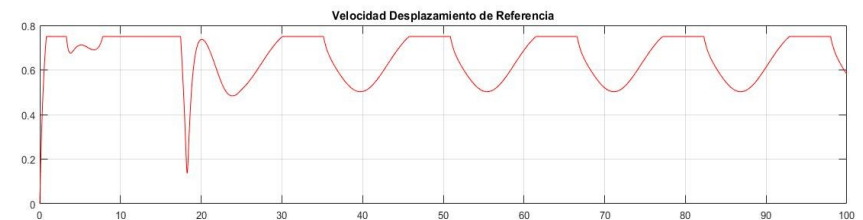
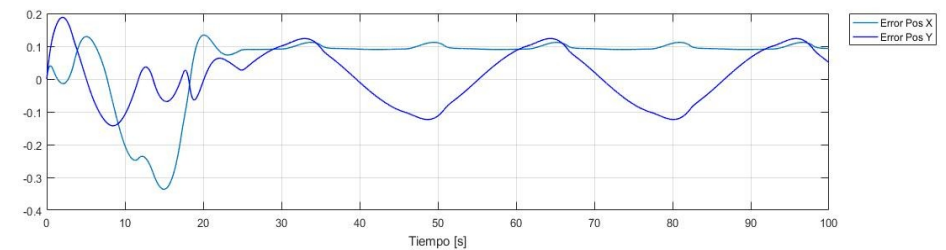
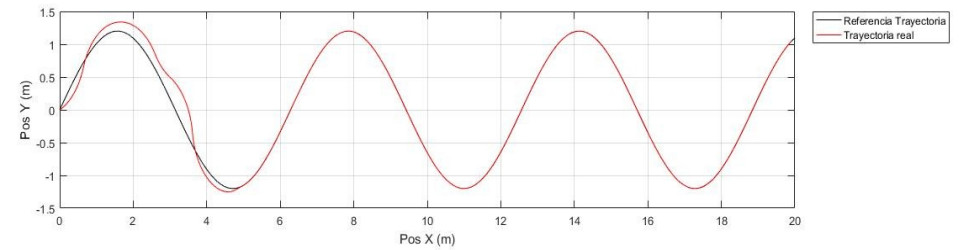
$$K_\rho = 2.2$$

$$K_\alpha = K_\beta + 5.8$$

$$K_\beta = -0.1$$

CONTROL DINÁMICO

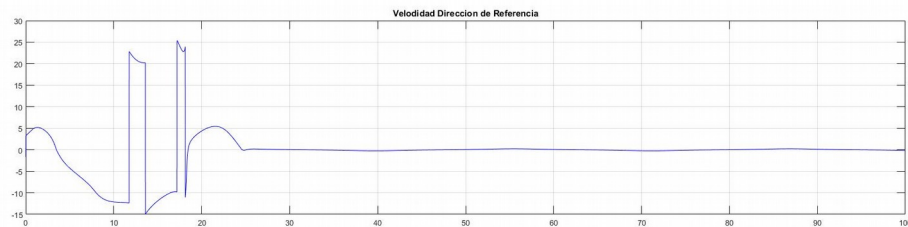
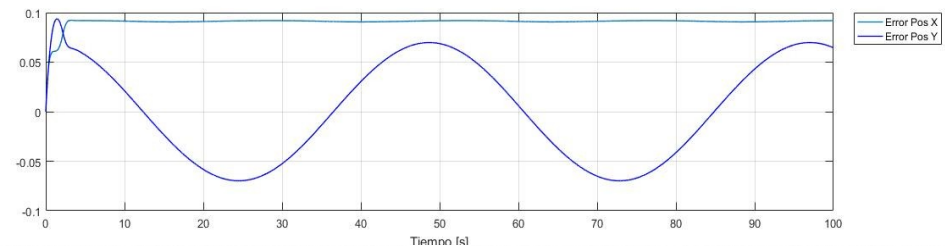
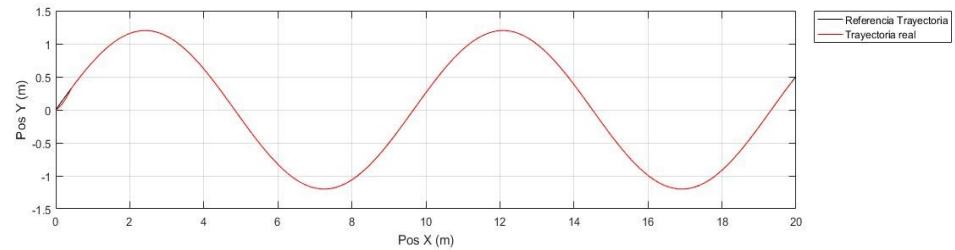
- Persecución pura con $w=0.2$



CONTROL DINÁMICO

- Persecución pura con $w=0.13$

Notable como la disminución de la frecuencia conlleva una mejora en el seguimiento



DIAPPOSITIVA FINAL